

2-3 Bleichの理論の比較

Bleichの理論による $G_s J$ では主構弦材の影響は全く考慮されていない。従って A_c が小さければ、fig 3-aに見られるように、両方法による $G_s J$ はほぼ一致する。

又、 $E_s C_w$ については、fig 3-bに示す如く、 h の関数で表わした $E_s C_w$ はそれぞれの方法によって全く異なった傾向を示すので検討と必要と興味がある。

なお、fig 3-a fig 3-bの本州四国連絡橋(スパン長1500m)を対象として計算している。

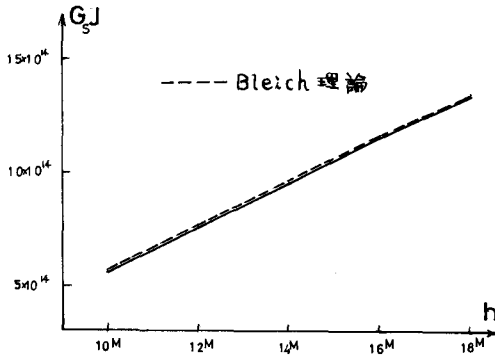


Fig 3-a

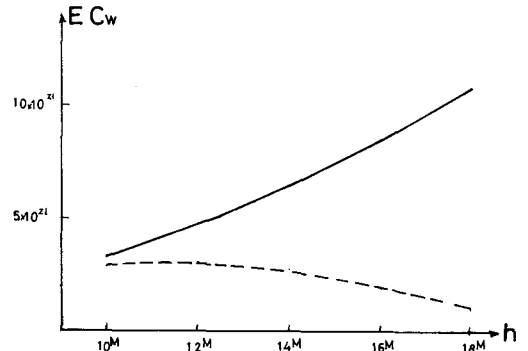
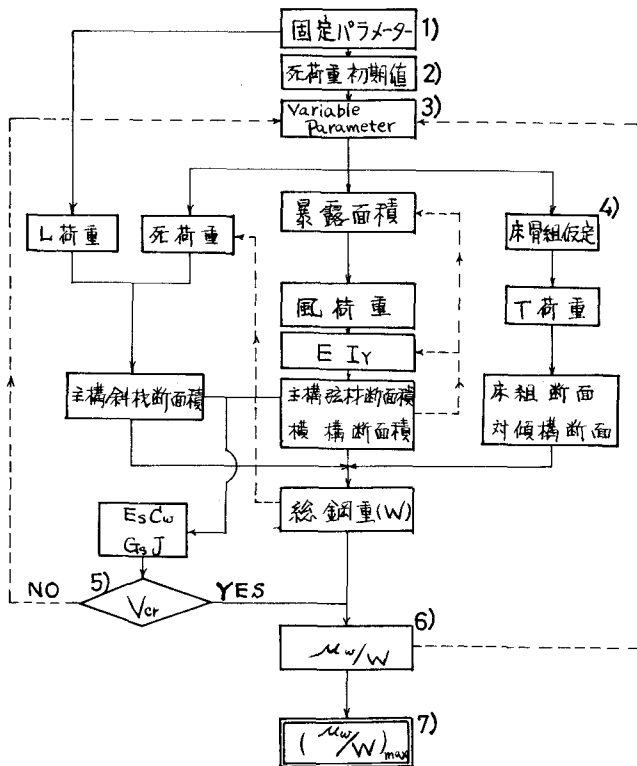


Fig 3-b

2-4 最小重量設計の基本フローチャート



- 1) b, E, G, E_c, V (設計風速), l
- 2) 死荷重の仮定値
- 3) λ, h , 主ケーブル断面積
- 4) 床組, 対傾構の形状仮定
- 5) 限界風速 $V_{cr} < \mu_w V$ を照査
- 6) 7) 単位鋼重当りの風に対する安全率を求めその最大値によって最小重量設計を行う。

参考文献

- 1) Bleich F. et al : The Mathematical Theory of Vibration in Suspension Bridges, Bureau of Public Roads
- 2) 小松, 相良, 西村; 長大吊橋補剛トラスのねじりに関する静学的研究, 関西支部講演会 (S44)